

Formation à la phylogénie moléculaire

Lyon – 19-22 mars 2013

Introduction à la phylogénie moléculaire - aspects biologiques -

Manolo Gouy, CNRS, Lyon

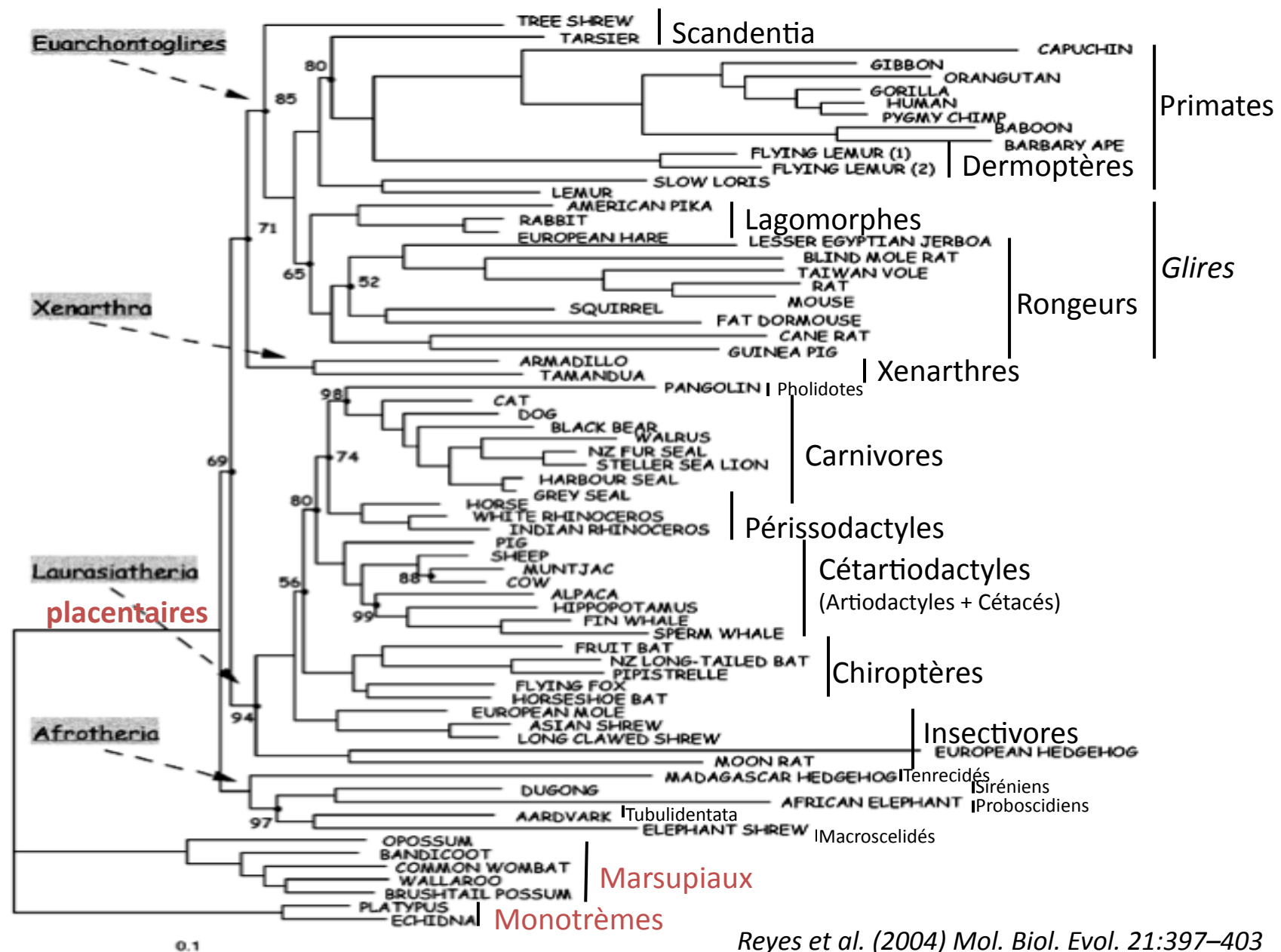


FIG. 1.—Phylogenetic tree of placental mammals reconstructed using the program MrBayes from mitochondrial H-stranded protein-coding genes using ungapped first and second codon positions with the exclusion of Leu synonymous sites. Posterior probabilities (PP) supporting the tree nodes are only reported when less than 100. Marsupialia and Monotremata were used as outgroups. The lengths of the branches are proportional to the number of nucleotide substitutions per site.

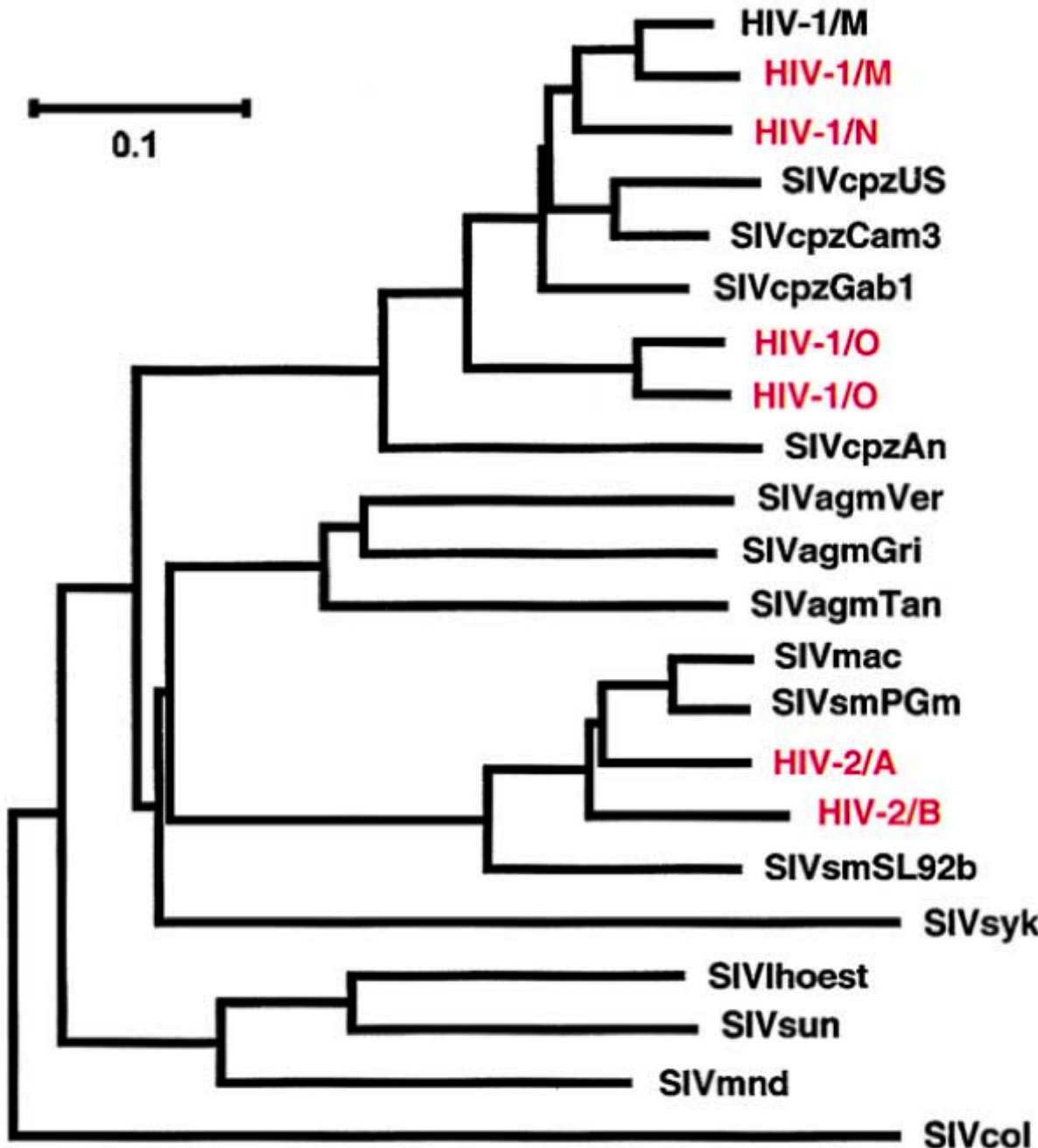


Figure 1. Evolution of AIDS Viruses

Origine du virus du SIDA

cpz: chimpanzé --> HIV-1

agm: singe vert africain

mac: macaque

sm: *Cercocebus atys* --> HIV-2

syk: *Cercopithecus albogularis*

lhoest: *C. lhoesti*

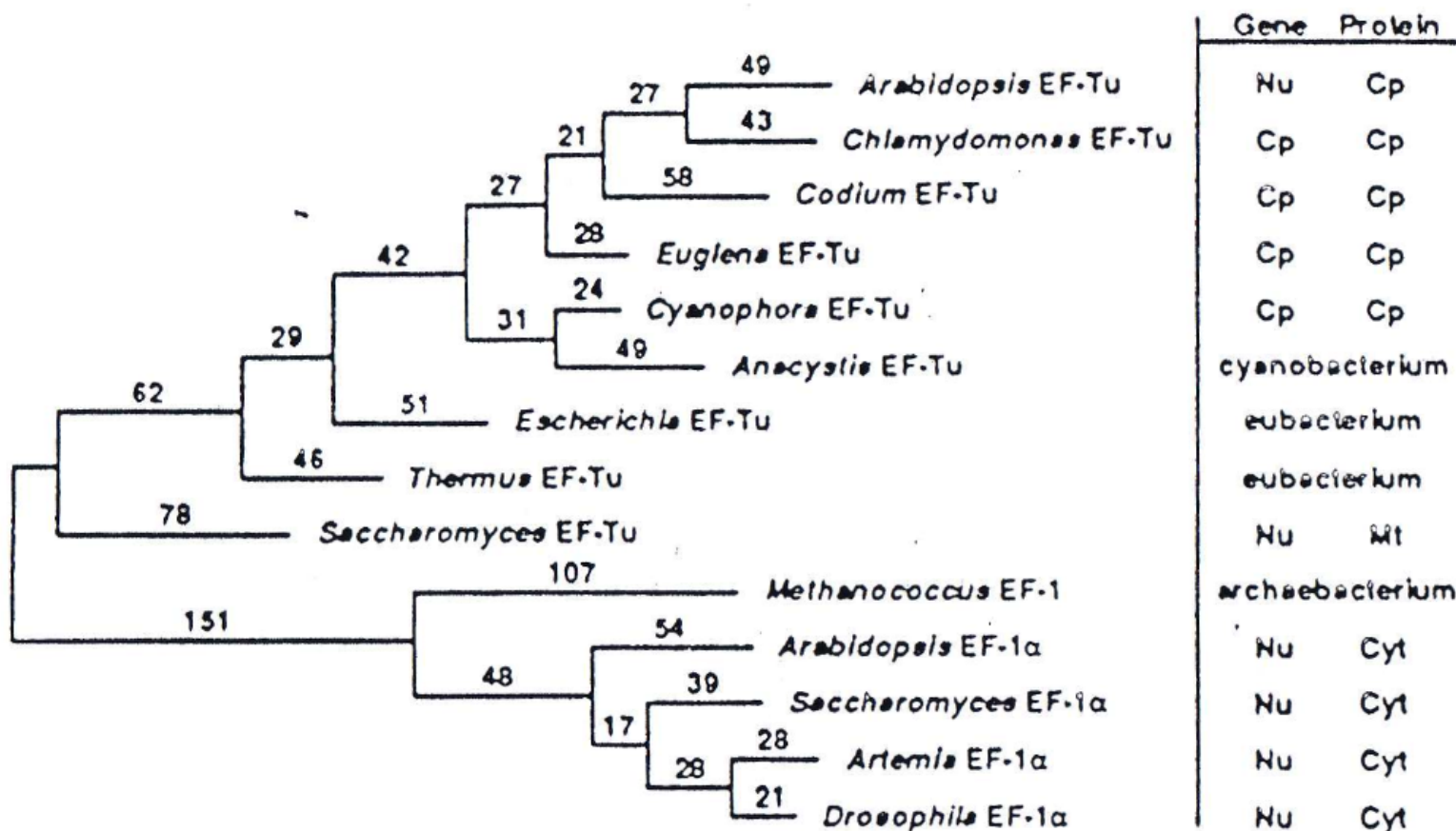
sun: *C. solatus*

mnd: *Mandrillus sphinx*

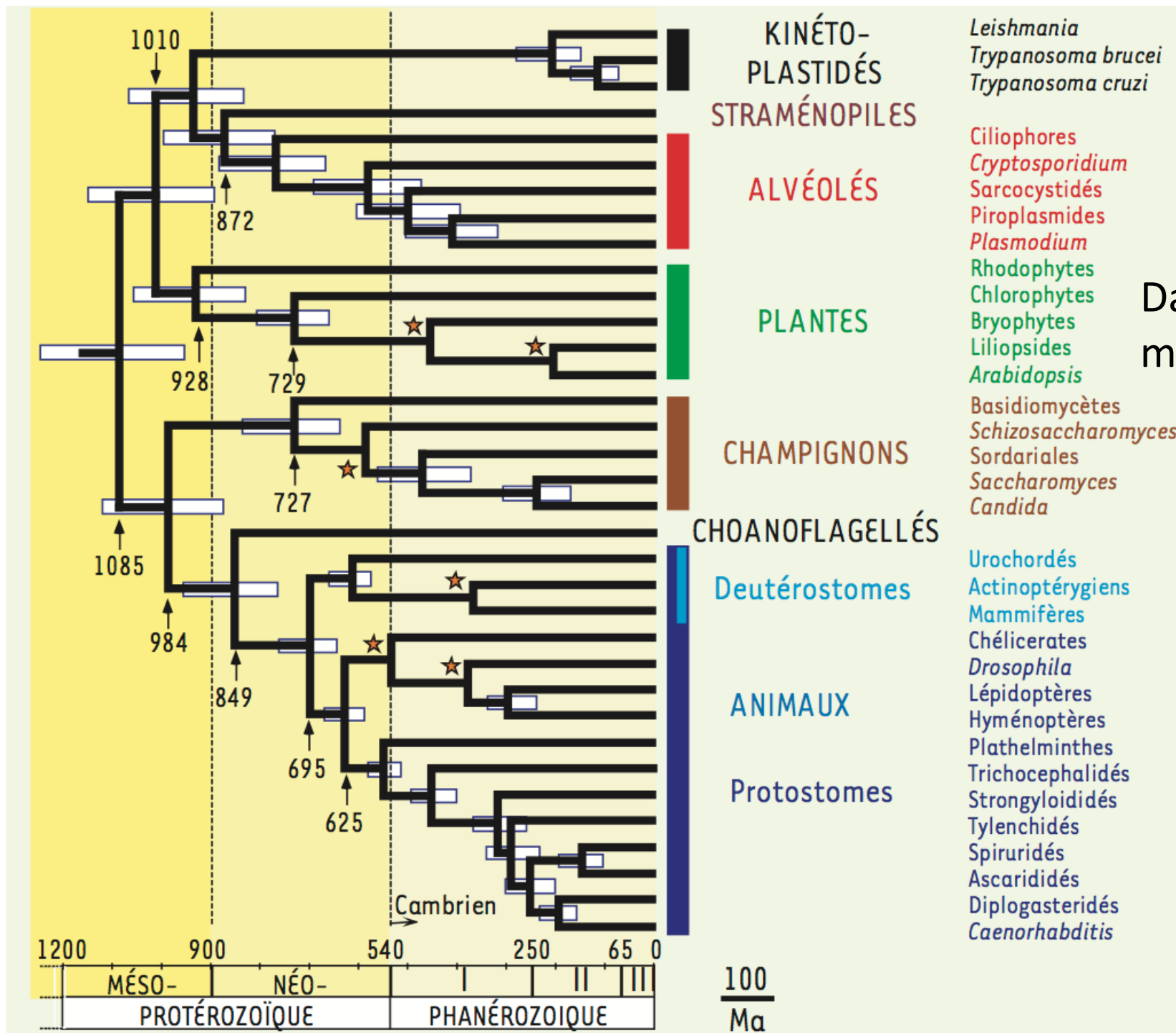
col: *Colobus guereza*

La vitesse d'évolution des molécules utilisées doit être adaptée à l'échelle temporelle du phénomène étudié.

Evolutionary transfer of the chloroplast tufA gene to the nucleus.
 LETTERS TO NATURE



Datation moléculaire

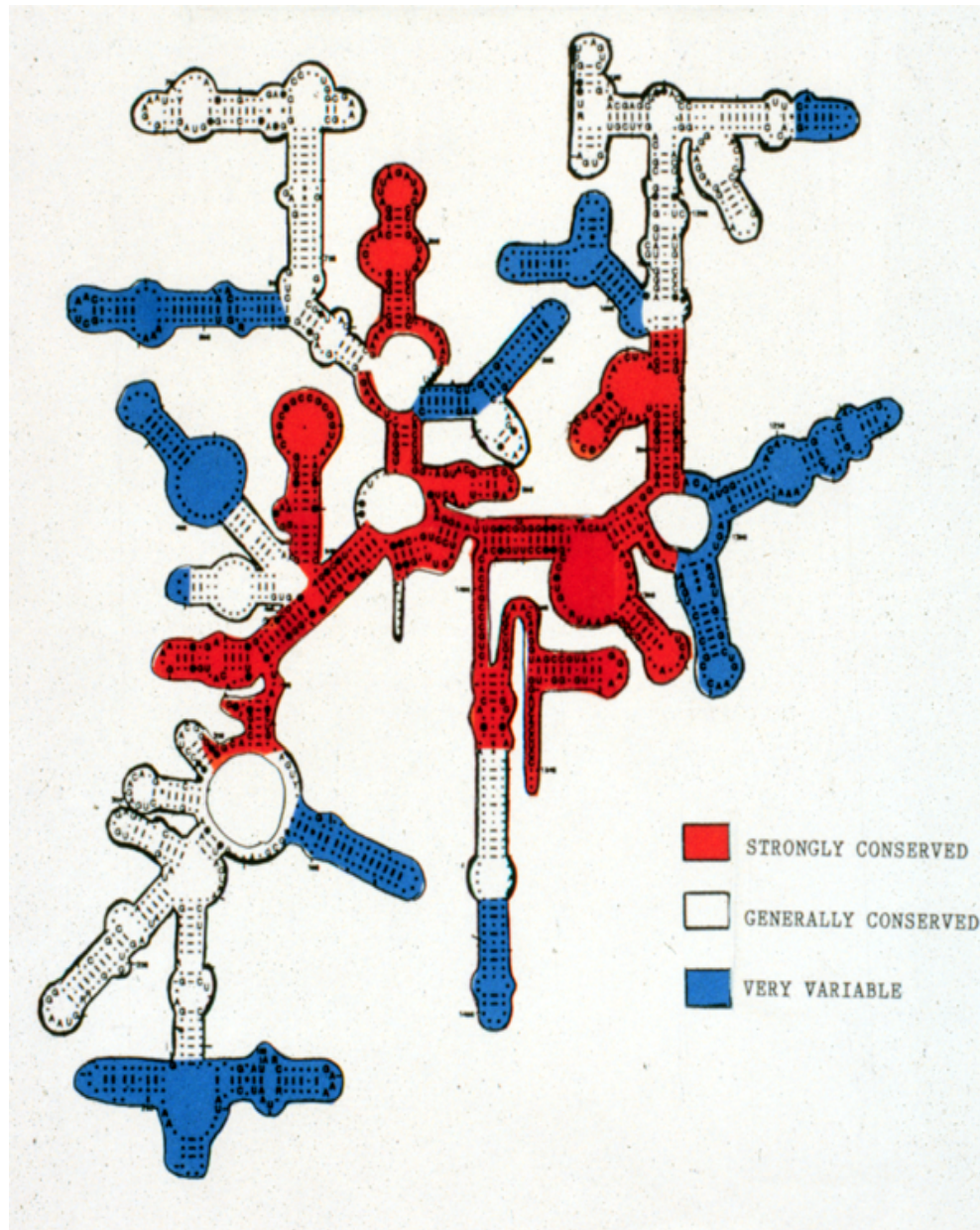


Alignment et Gaps

- La qualité de l'alignement est essentielle : chaque colonne de l'alignement (site) est supposée contenir des résidus homologues (nucléotides, acides aminés) qui dérivent d'un ancêtre commun.
==> Les parties non fiables de l'alignement doivent être omises du reste des analyses.
- La plupart des méthodes ne tiennent compte que des substitutions ; les gaps (événements d'insertion/délétion) ne sont pas utilisés.
==> les sites contenant des gaps sont ignorés.



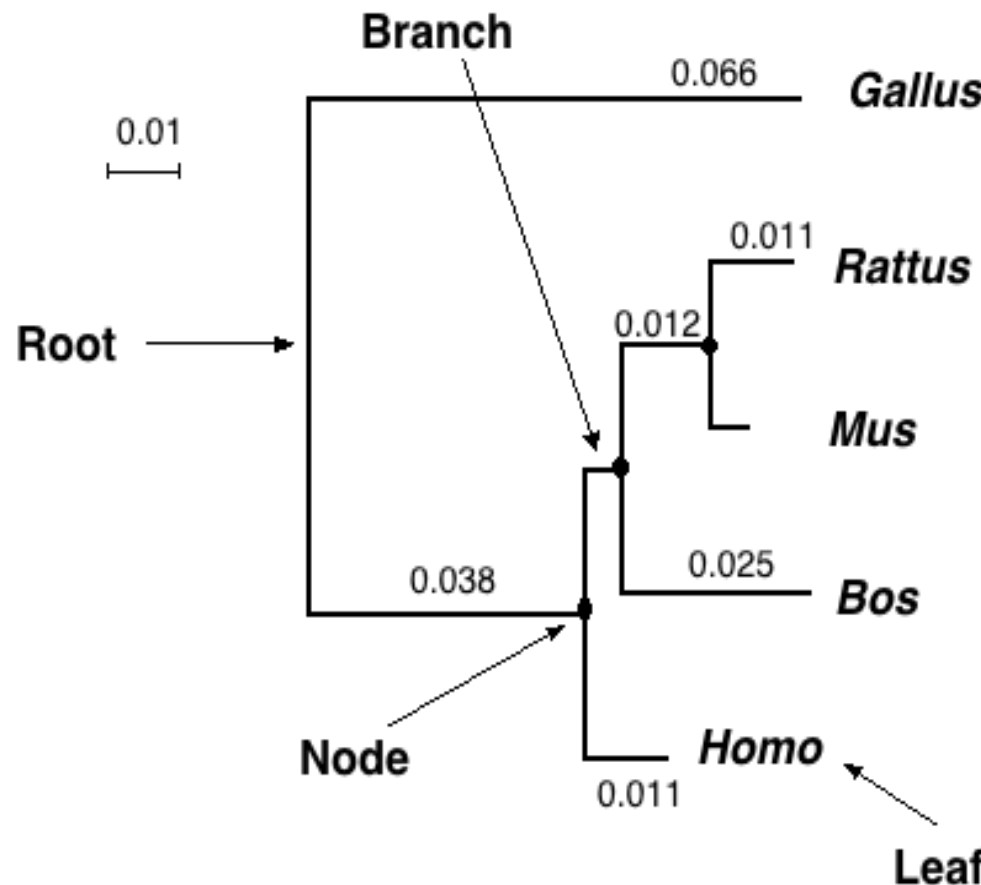
Variation de la vitesse d'évolution entre sites



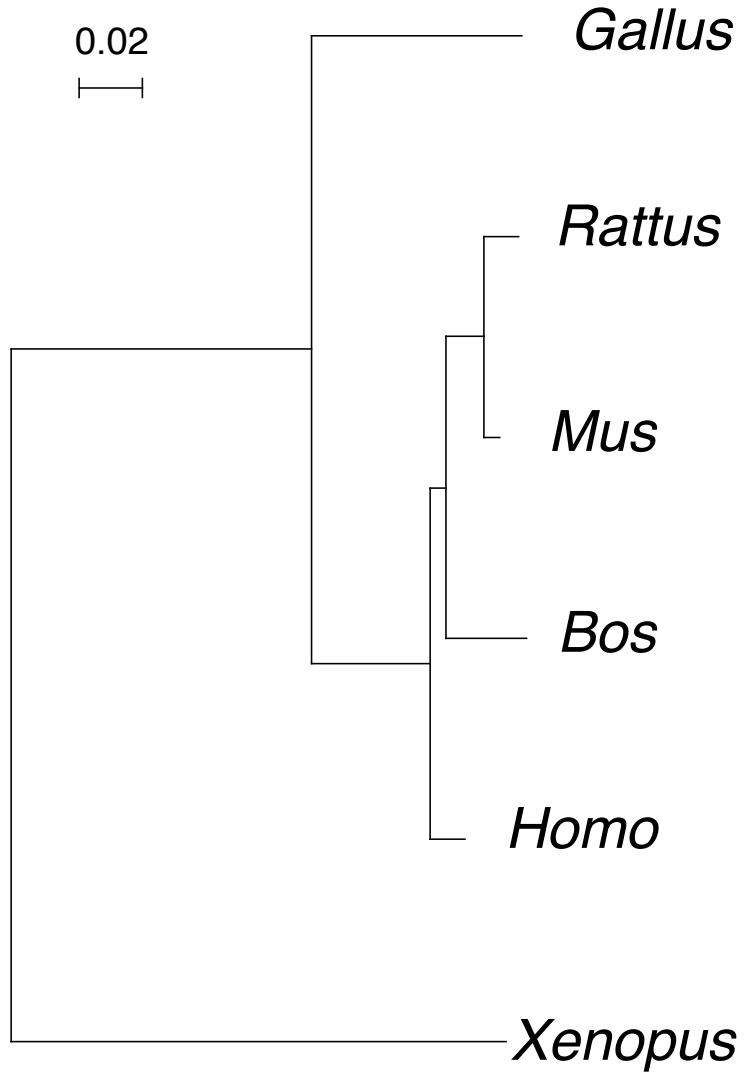
Small subunit
ribosomal RNA
(18S or 16S)

Arbre Phylogénétique

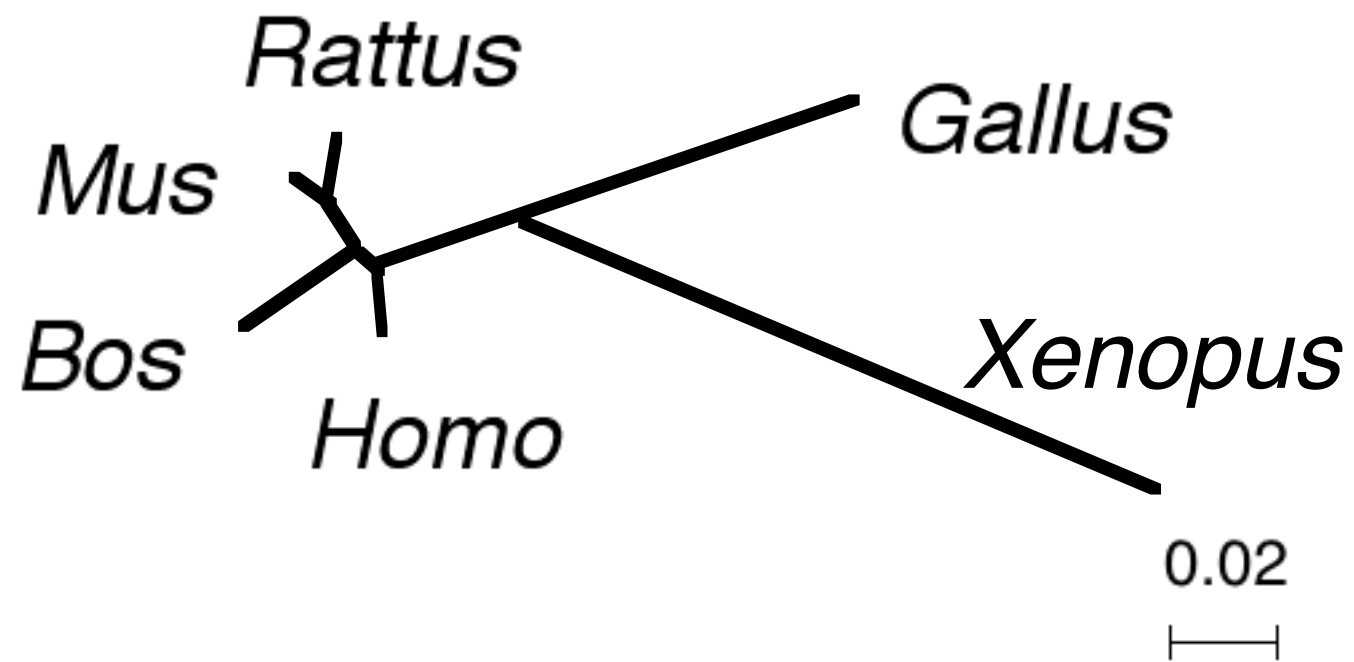
- Branche Interne: entre 2 nœuds. Branche Externe: entre un nœud et une feuille
- Les longueurs des branches horizontales sont proportionnelles aux distances évolutives entre séquences ancestrales (unité = substitution / site).
- Topologie d'arbre = forme de l'arbre = ordre de branchement des nœuds



Arbre raciné

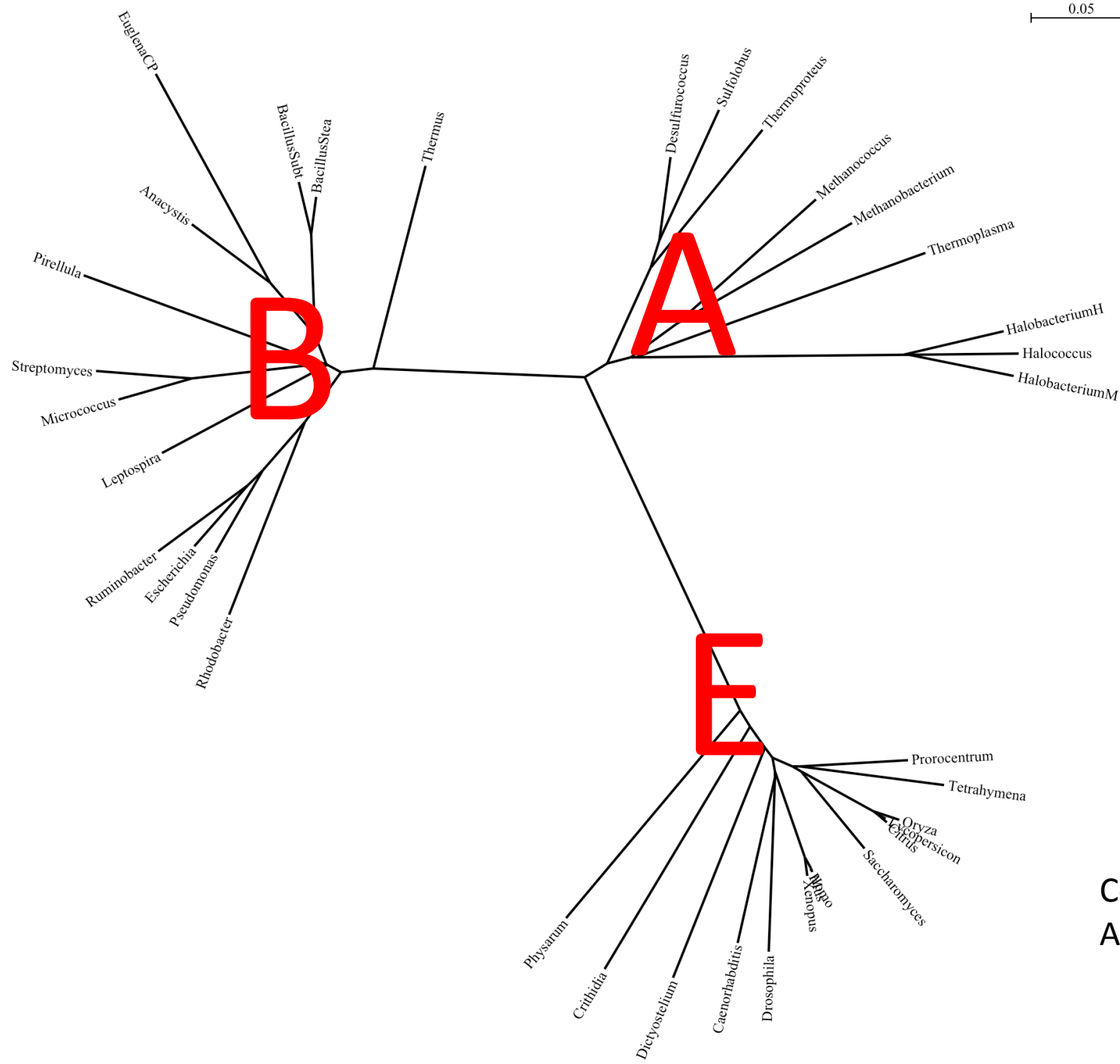


Arbre non raciné



Arbres racinés et non-racinés

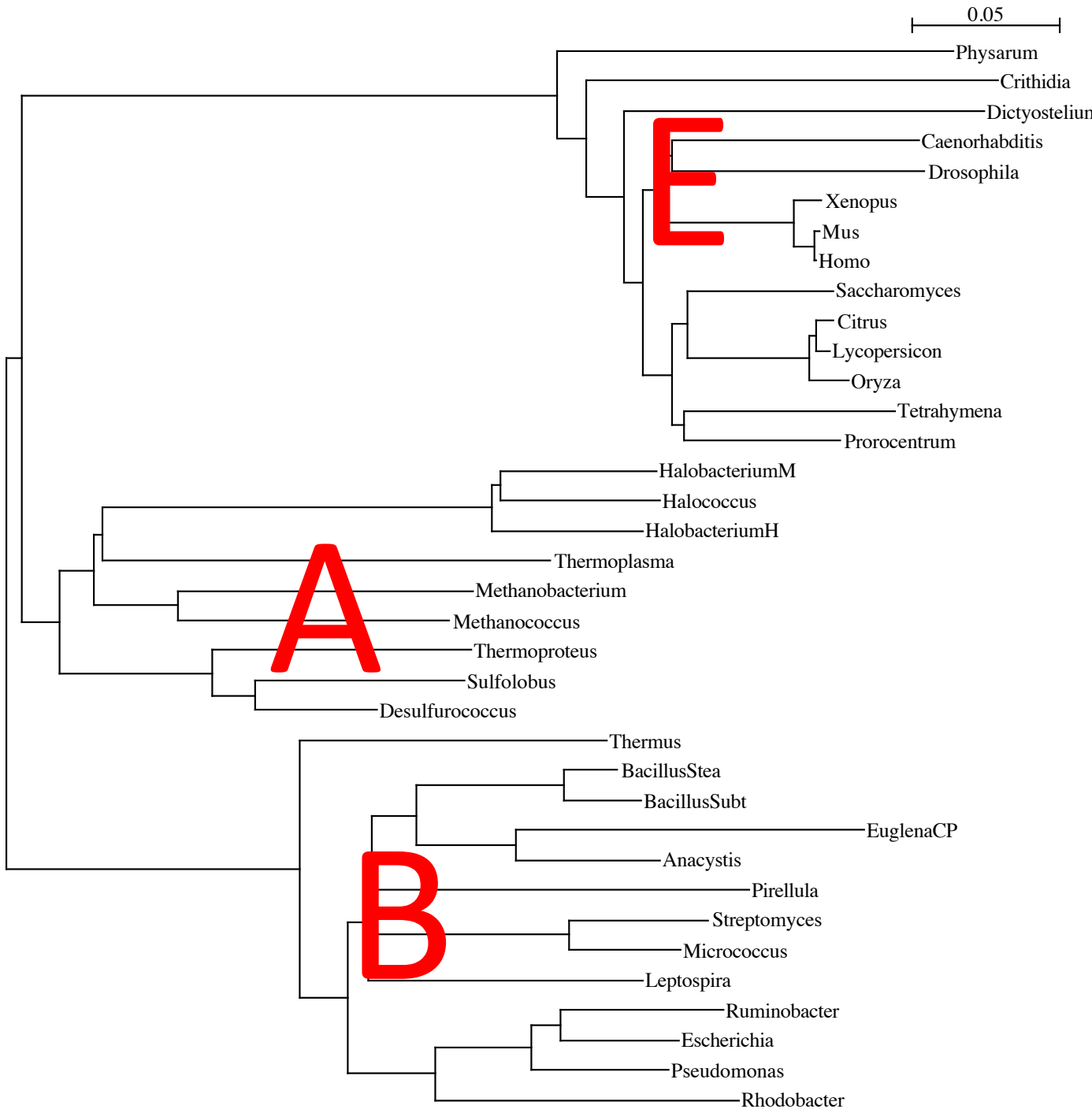
- La plupart des méthodes phylogénétiques produisent des arbres non racinés. La raison est que les méthodes détectent des différences entre séquences, sans avoir le moyen de les orienter temporellement.
- Deux façons d'enraciner un arbre non raciné:
 - Méthode du groupe externe : inclure dans l'analyse un groupe de séquences dont on sait *a priori* qu'elles sont externes au groupe étudié; la racine est sur la branche qui relie le groupe externe aux autres séquences.
 - Faire l'hypothèse de l'horloge moléculaire : toutes les lignées sont supposées évoluer à la même vitesse depuis leur divergence; la racine est au point de l'arbre équidistant de toutes ses feuilles.



Phylogénie
universelle
non racinée

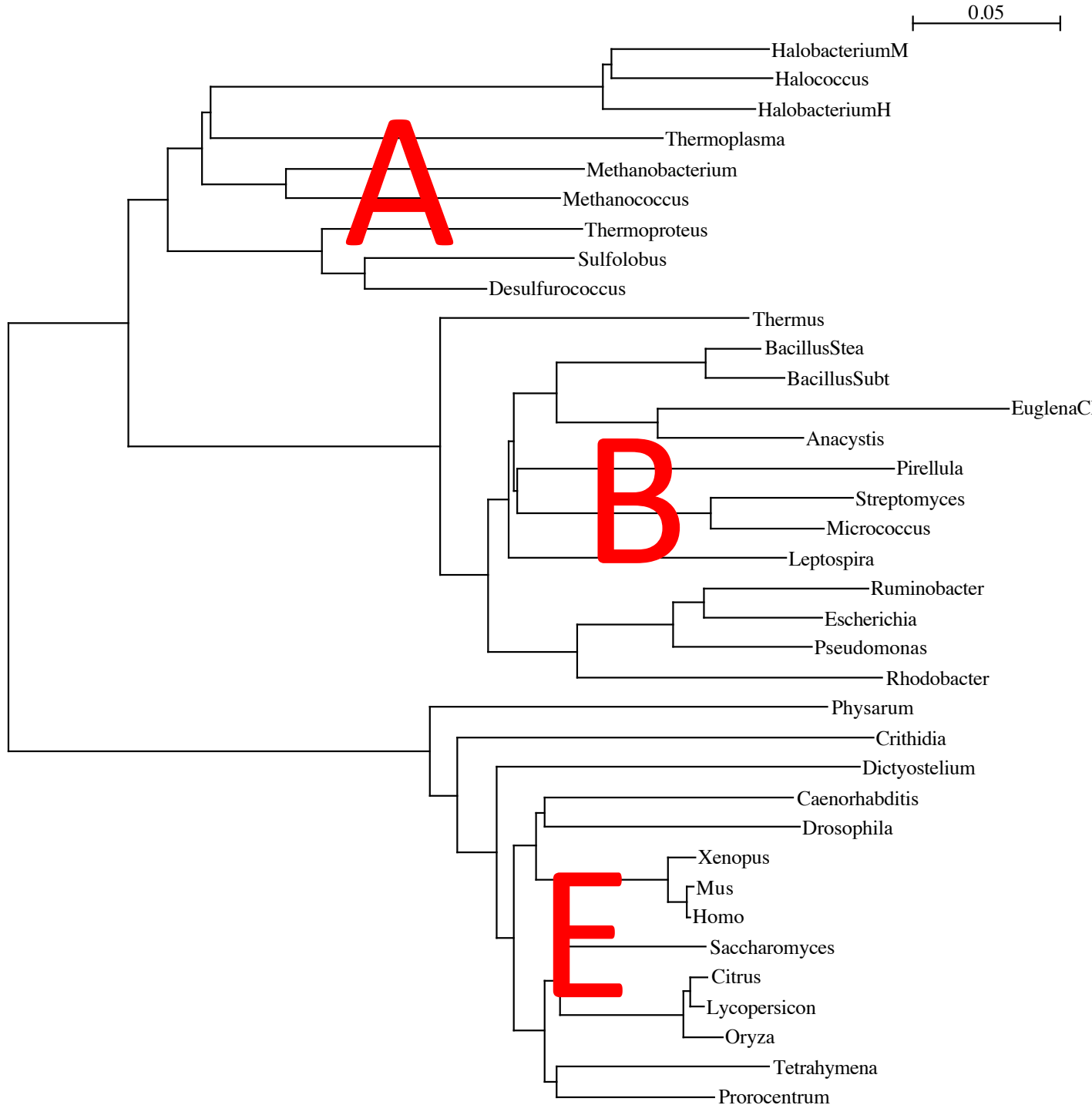
Trois domaines
Archées
Bactéries
Eucaryotes

Concaténation des
ARNr SSU et LSU

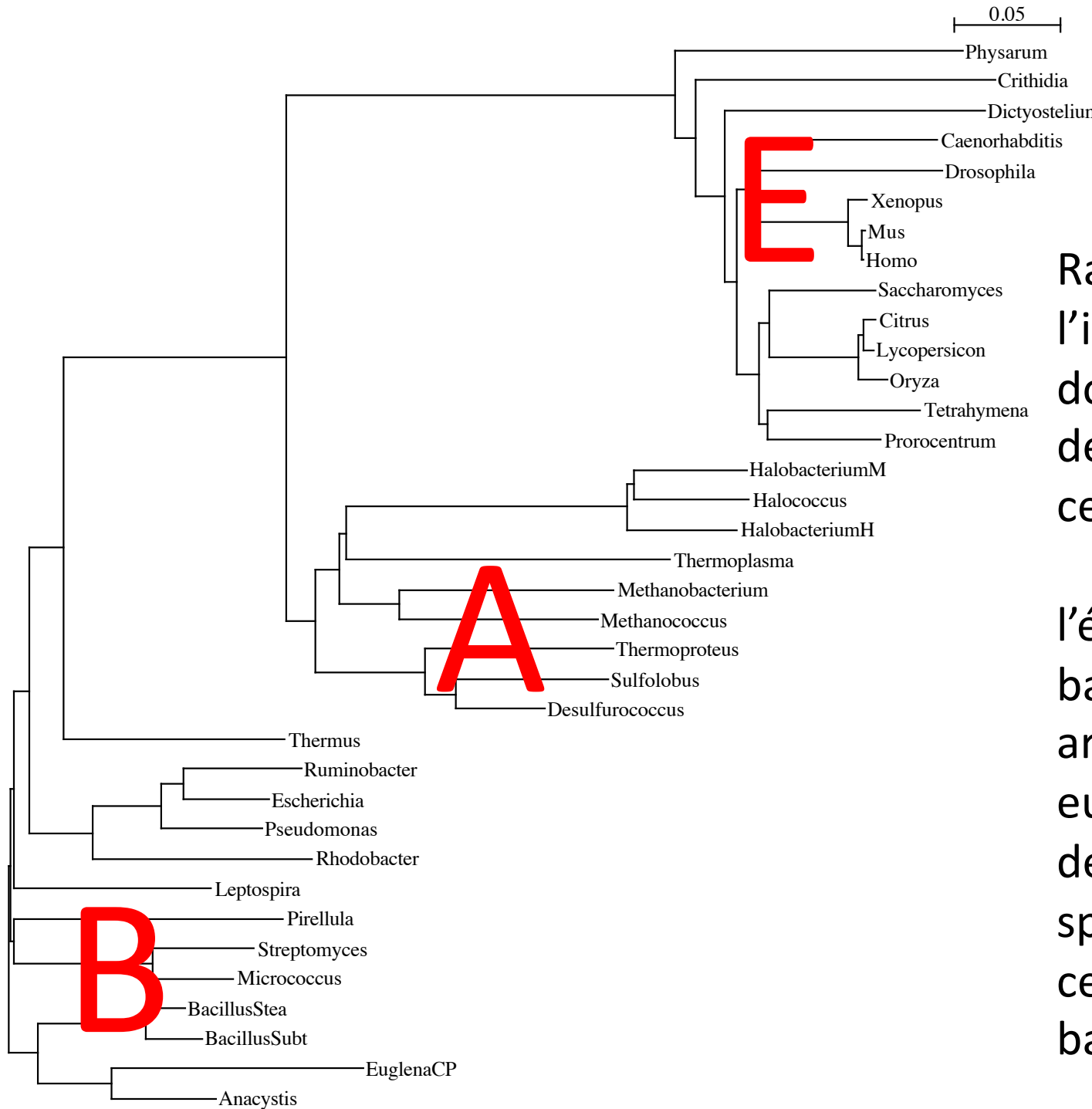


Racinement « standard »:

- le domaine bactérien est le premier à diverger
- les domaines archéen et eucaryote possèdent un ancêtre exclusif



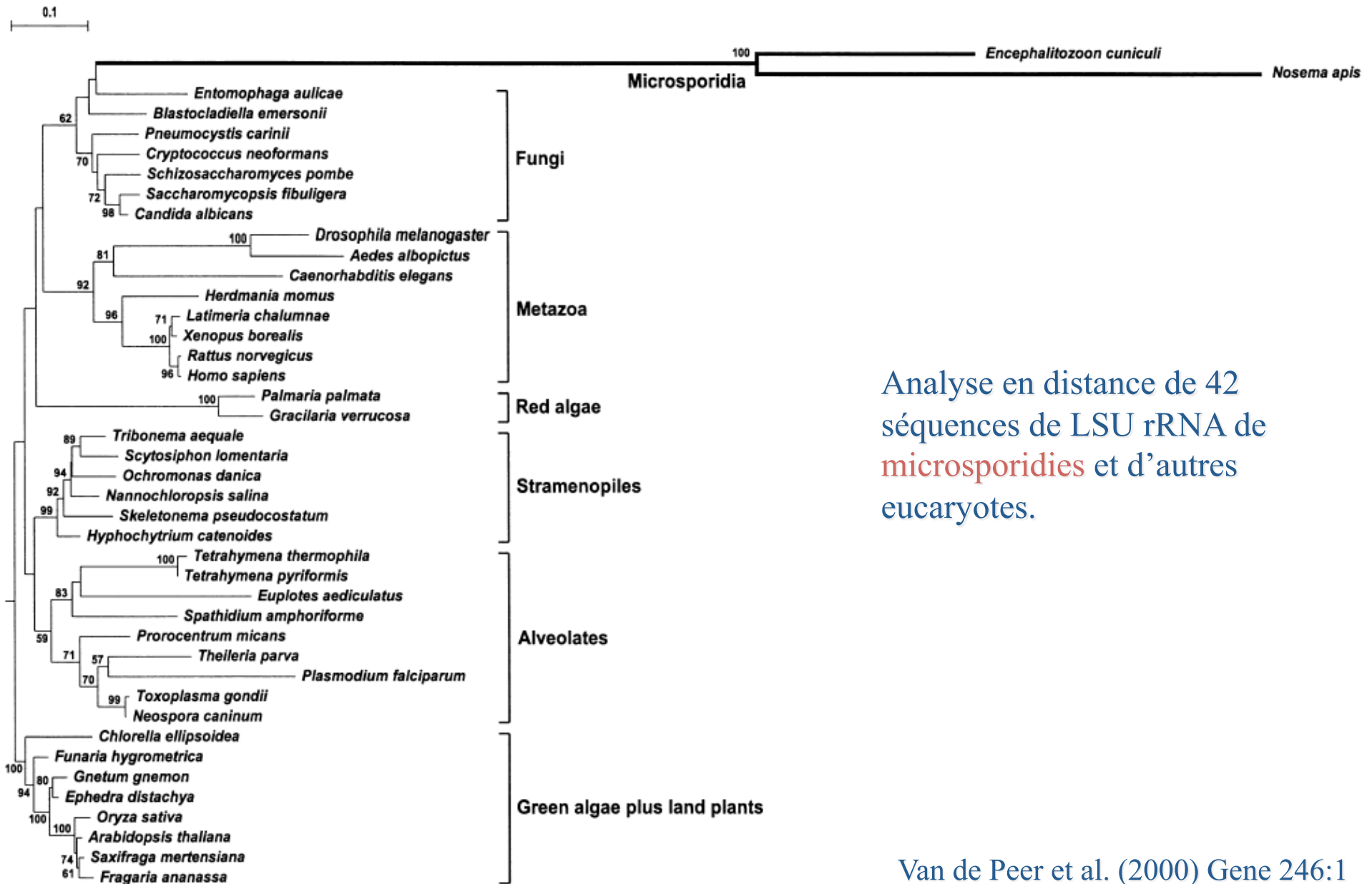
Racinement par le centre :
opposition procaryote/eucaryote



Racinement à l'intérieur du domaine bactérien défendu par certains auteurs :

l'état ancestral est bactérien, les archées et les eucaryotes sont dérivés spécifiquement de certains types de bactéries.

Racinement par le centre: incorrect si fortes différences de vitesse entre lignées



Van de Peer et al. (2000) Gene 246:1

Arbre des gènes vs. Arbre des espèces

- L'histoire évolutive des gènes reproduit celle des espèces qui les portent, sauf si:
 - Transfert horizontal = transfert de gène entre espèces
 - Duplication génique : orthologie/ paralogie

Orthologie / Paralogie

- speciation
- ◆ duplication

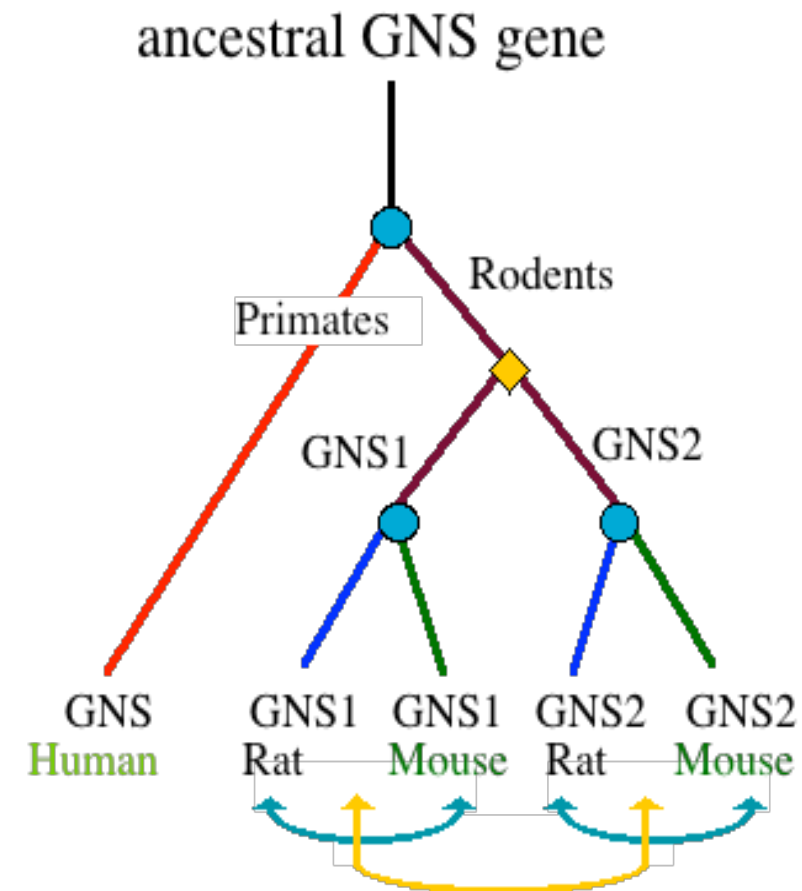
Homology : two genes are homologous iff they have a common ancestor.

↔ *Orthology* : two genes are orthologous iff they diverged following a speciation event.

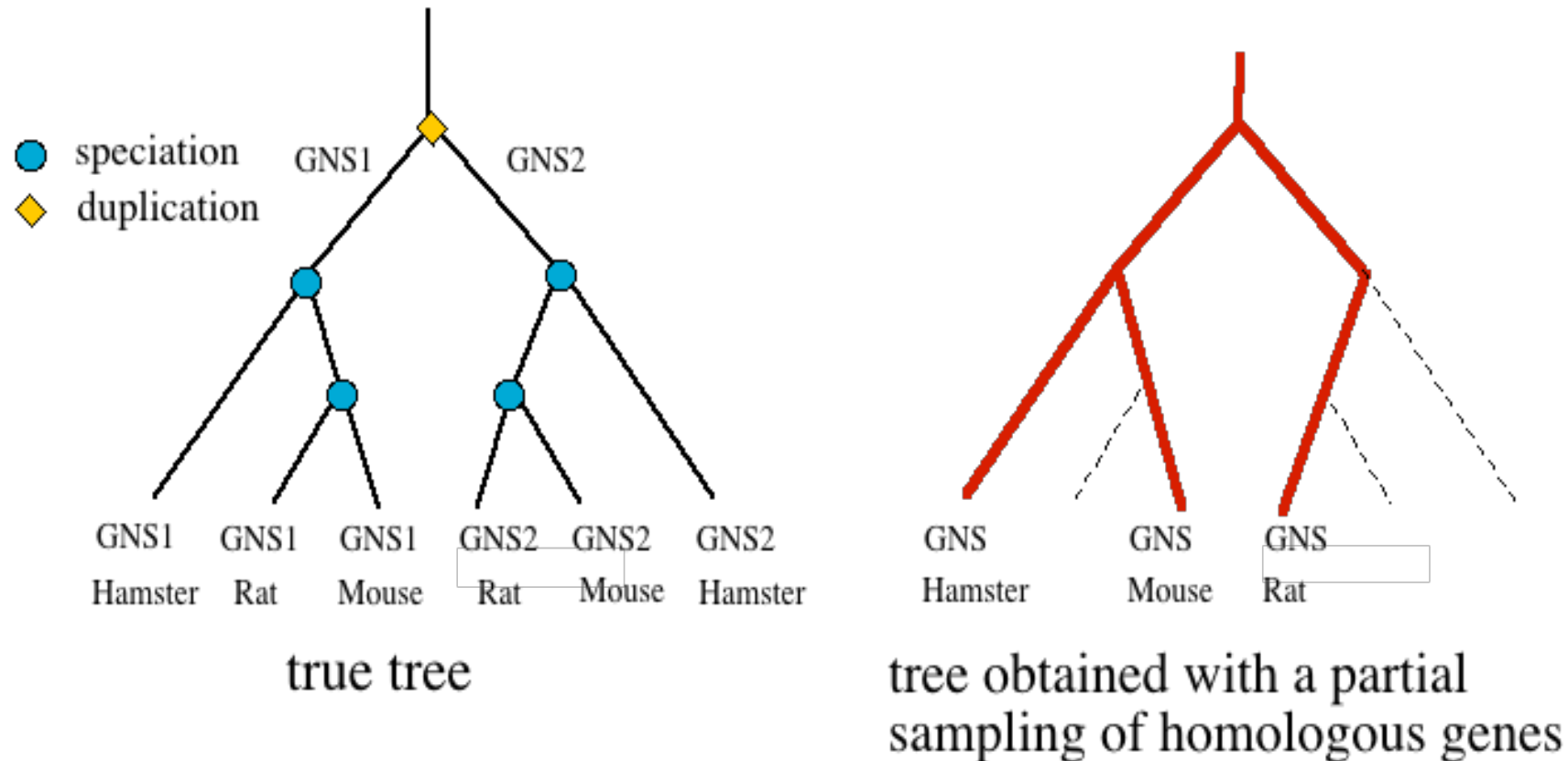
↔ *Paralogy* : two genes are paralogous iff they diverged following a duplication event.



Orthology ≠ functional equivalence

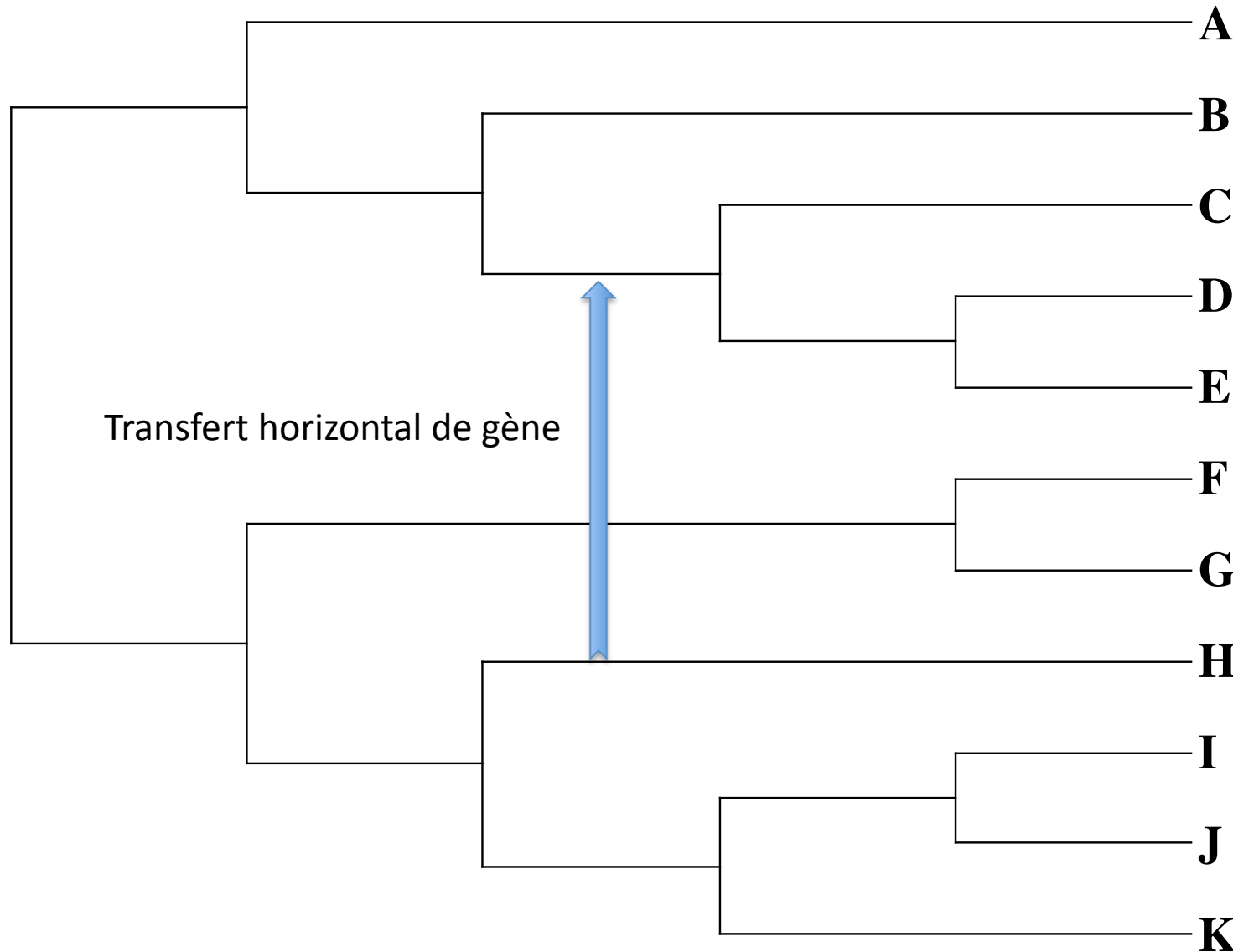


Reconstruction de la phylogénie des espèces: artéfacts dus à la paralogie

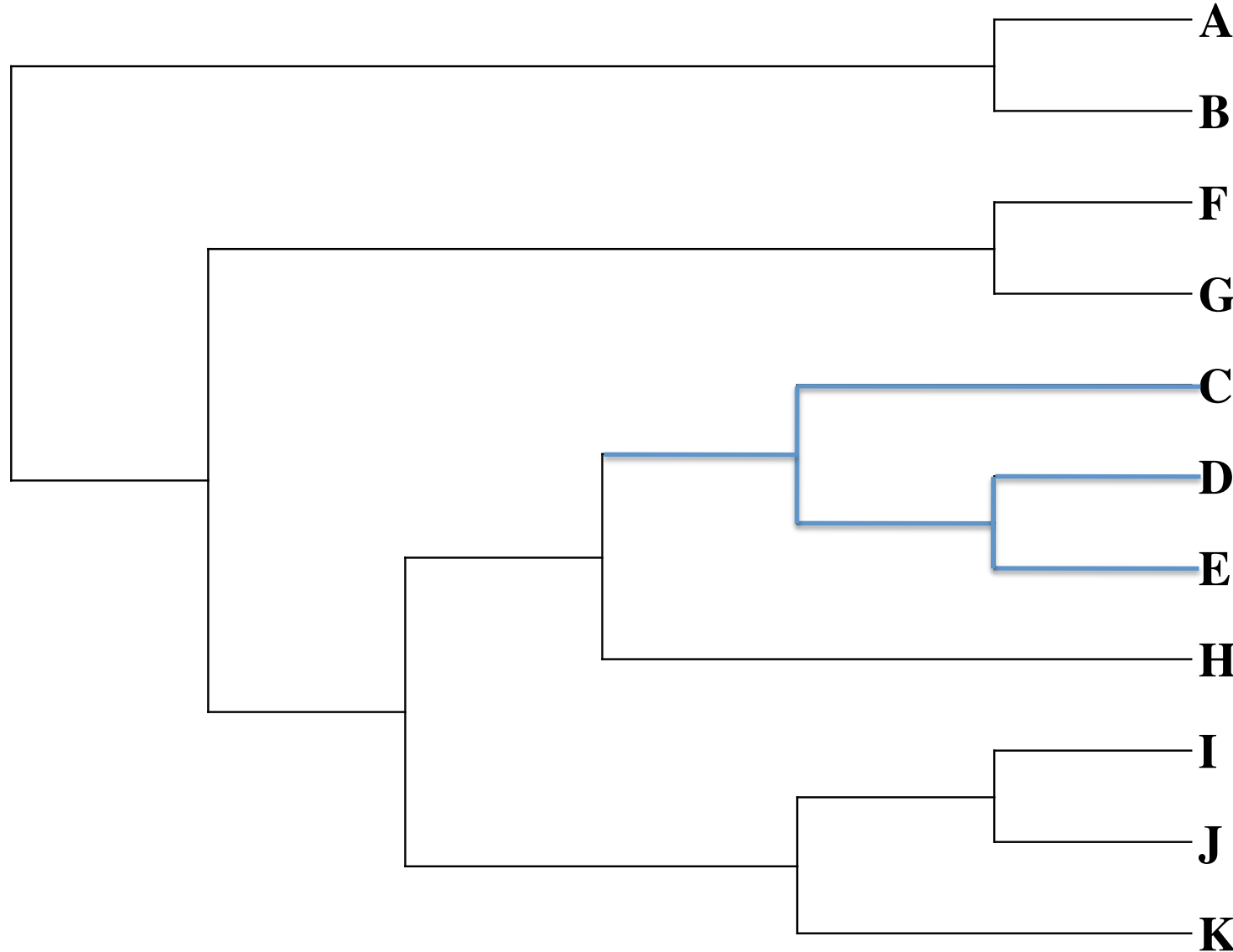


!! Des pertes de gènes peuvent se produire au cours de l'évolution : même avec des séquences génomiques complètes, il peut être difficile de détecter la paralogie !!

Arbre des espèces

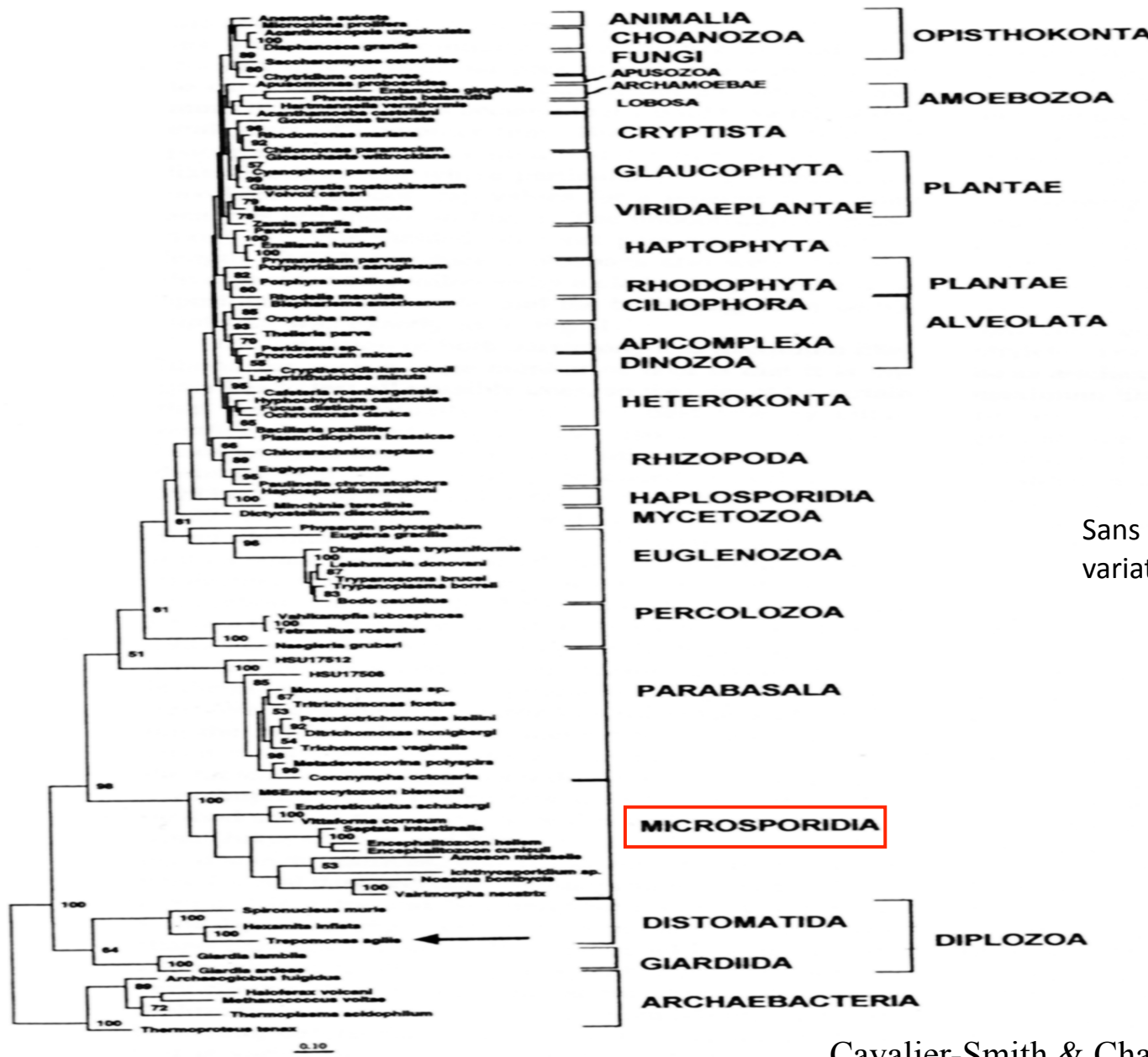


Arbre du gène



L'artefact d'attraction des longues branches

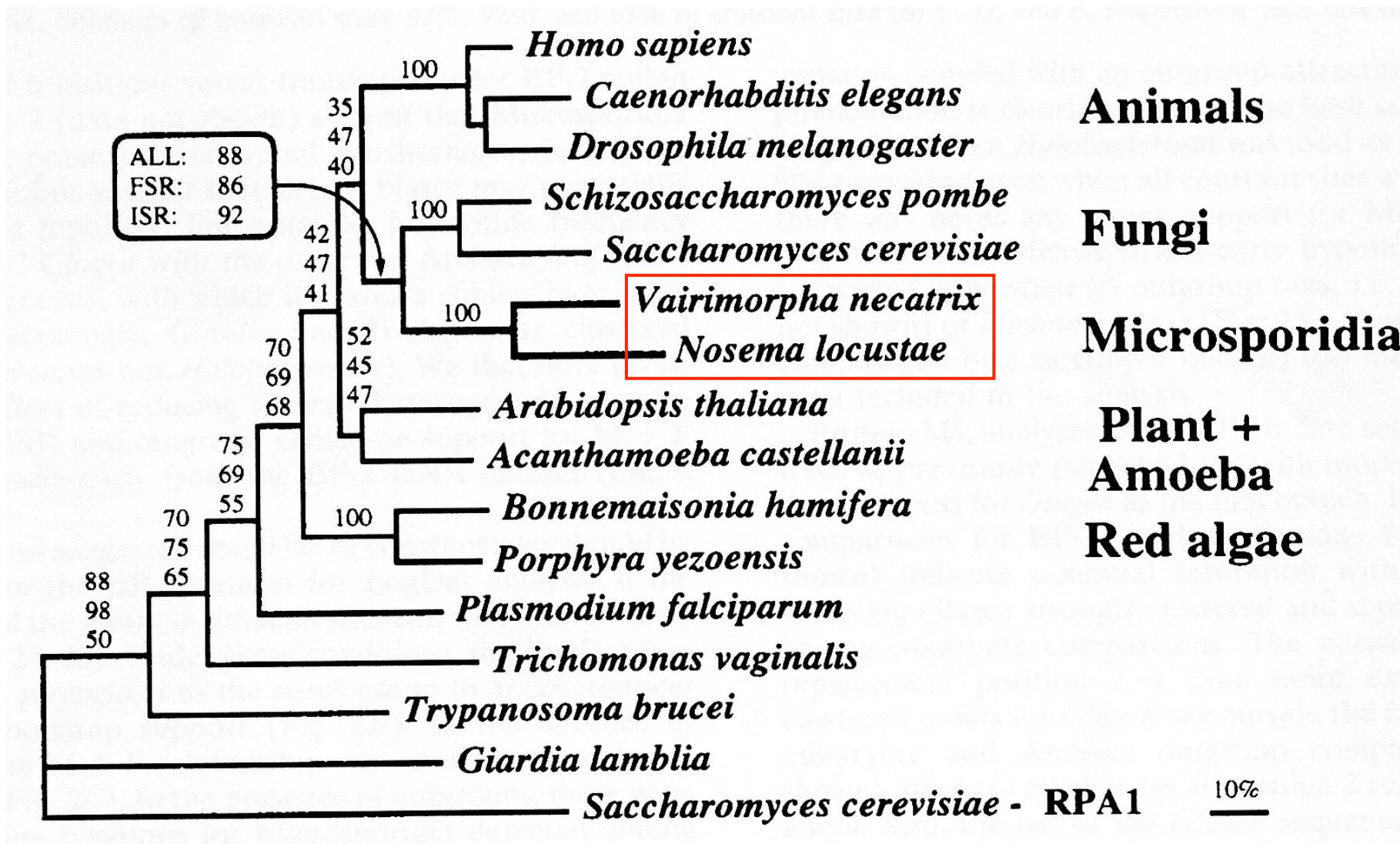
Phylogenetic analysis of eukaryotic small subunit ribosomal RNA



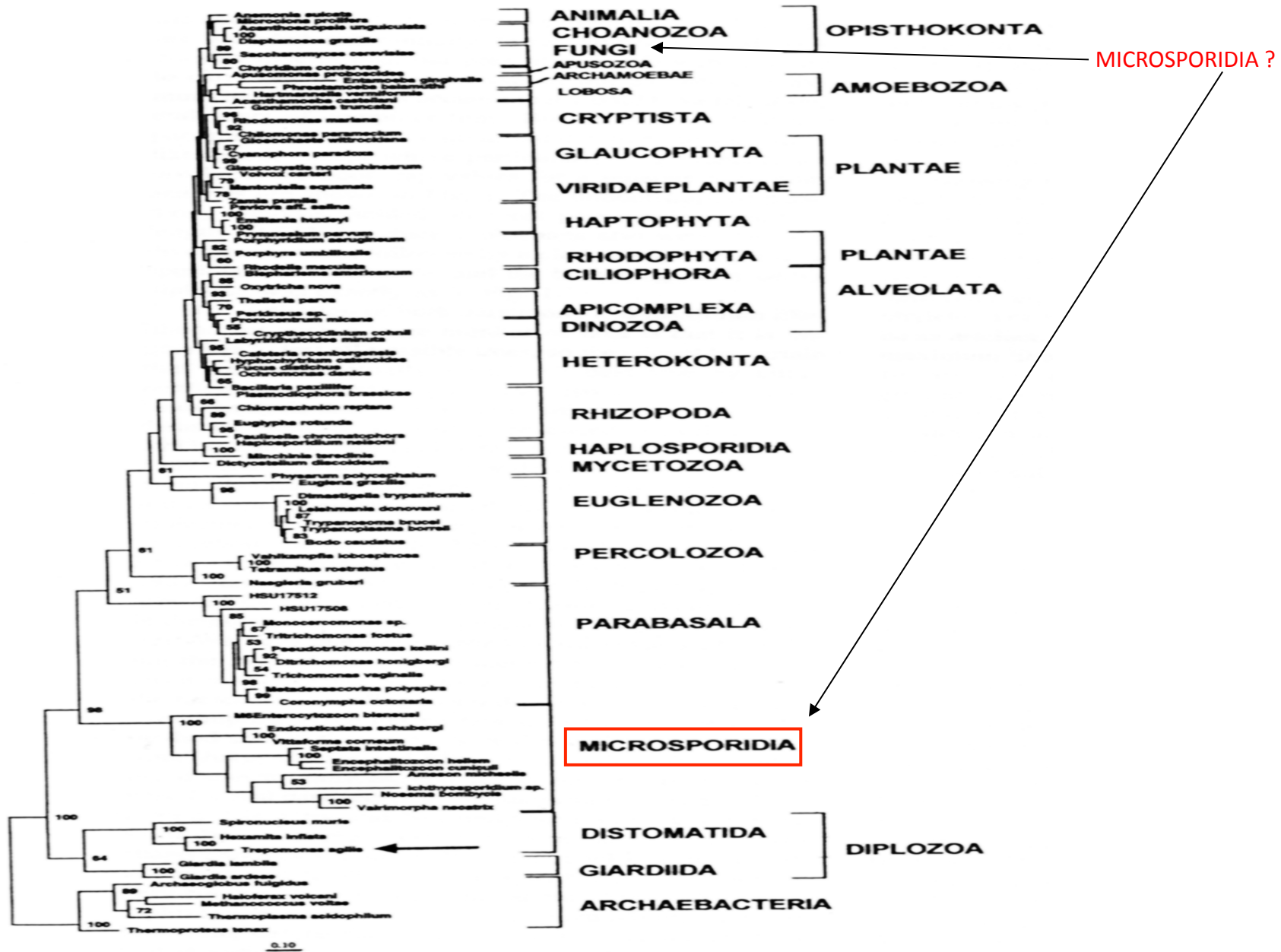
Sans prise en compte de la variation des vitesses entre sites

Phylogenetic analysis of RNA polymerase II large subunit

Hirt *et al.* (1999) Proc.Natl.Acad.Sci. USA 96:580

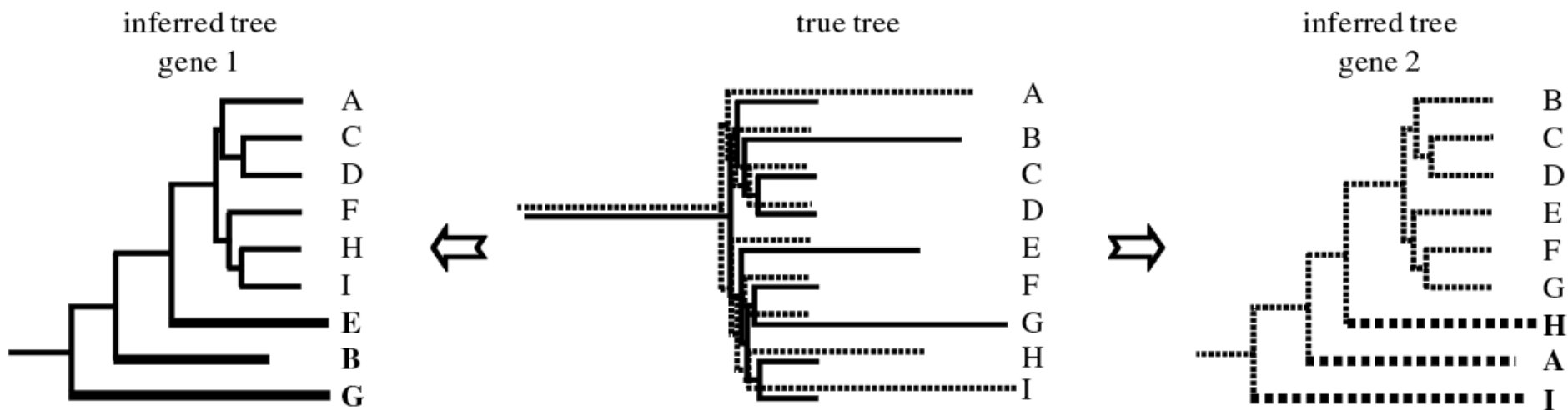
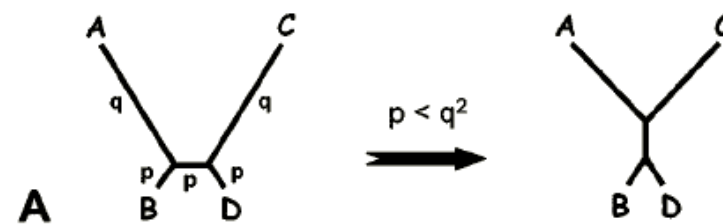


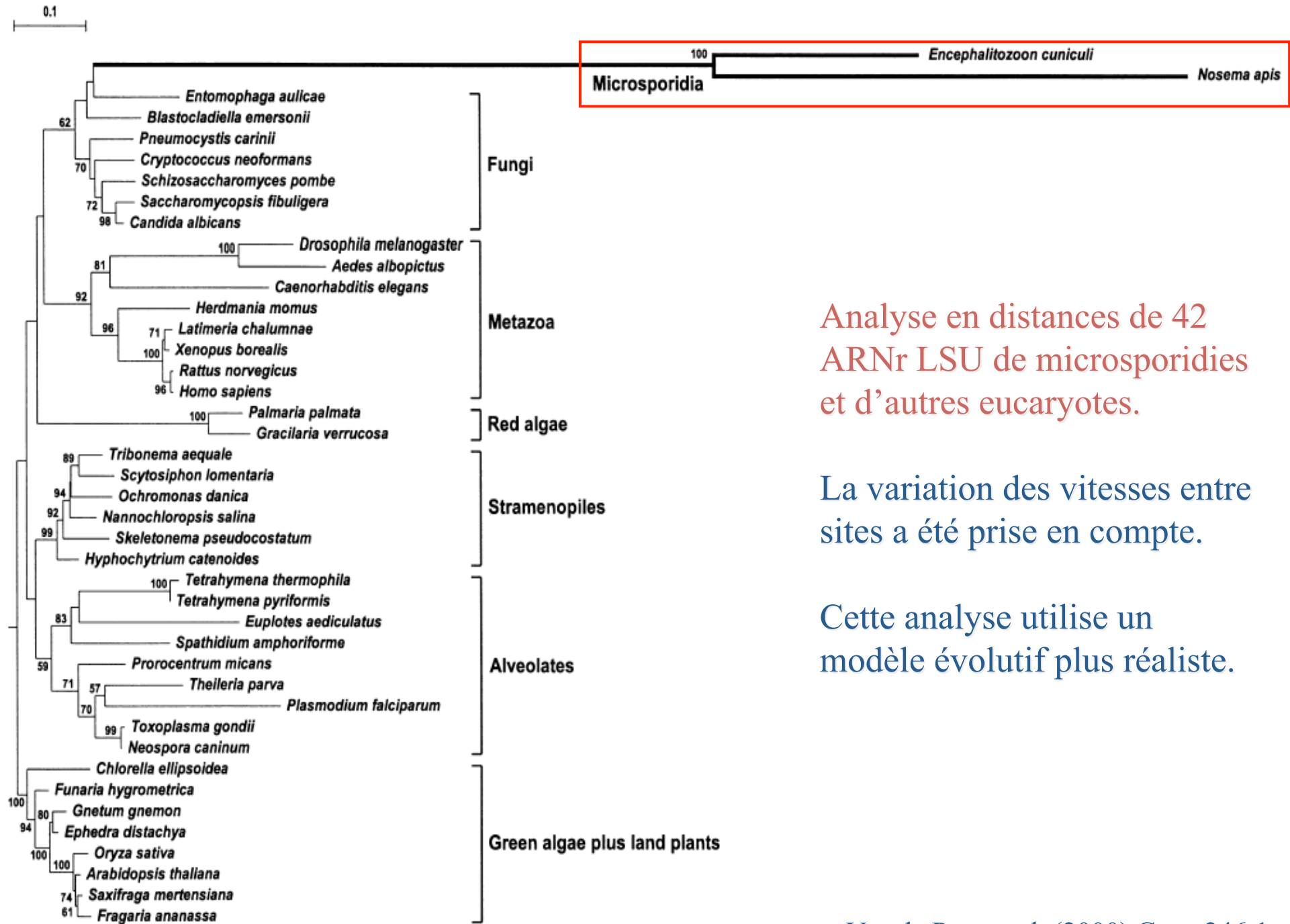
Peut-on réconcilier les ARNr et les ARN polymérasées ?



The Long Branch Attraction artifact

[Felsenstein (1978) *Syst Zool* 27:401]



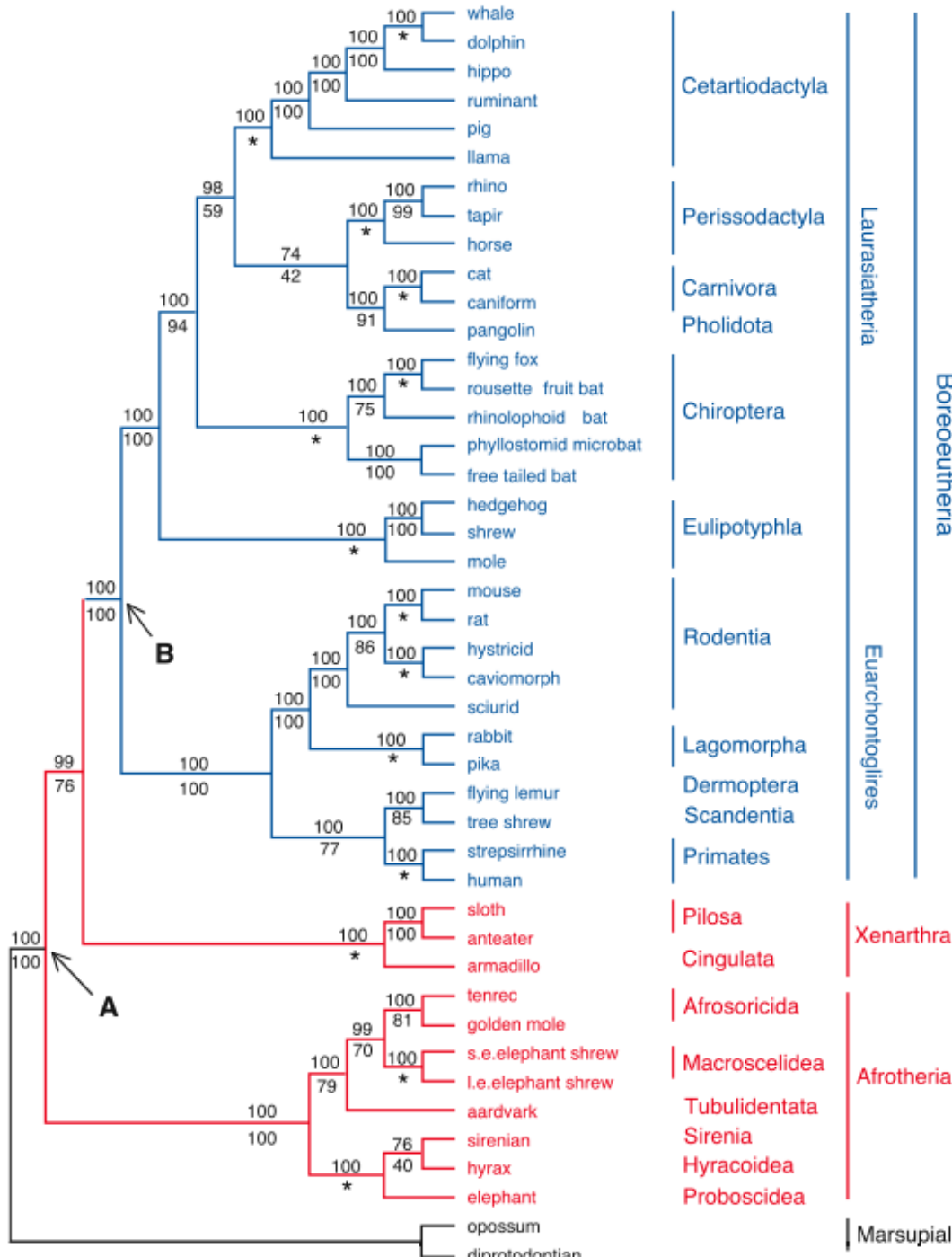


Analyse en distances de 42 ARNr LSU de microsporidies et d'autres eucaryotes.

La variation des vitesses entre sites a été prise en compte.

Cette analyse utilise un modèle évolutif plus réaliste.

L'effet du modèle évolutif utilisé:
les modèles plus réalistes sont meilleurs

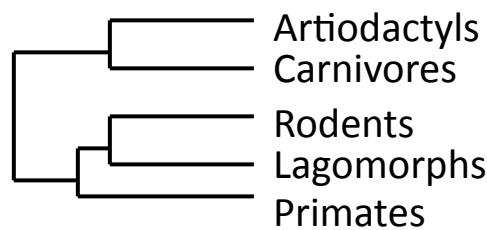


Phylogénie des ordres de mammifères

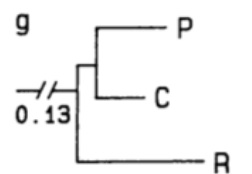
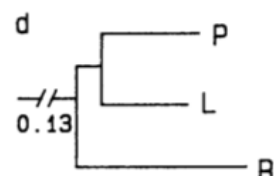
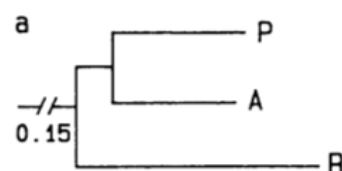
Resolution of the Early Placental Mammal Radiation Using Bayesian Phylogenetics

**William J. Murphy,^{1,*} Eduardo Eizirik,^{1,2,*} Stephen J. O'Brien,^{1†}
Ole Madsen,³ Mark Scally,^{4,5} Christophe J. Douady,^{4,5}
Emma Teeling,^{4,5} Oliver A. Ryder,⁶ Michael J. Stanhope,^{5,7}
Wilfried W. de Jong,^{3,8} Mark S. Springer^{4†}**

True tree :



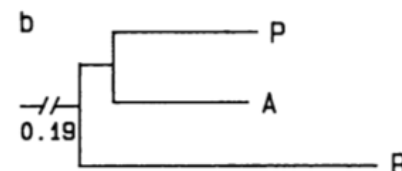
no across-site
rate variation



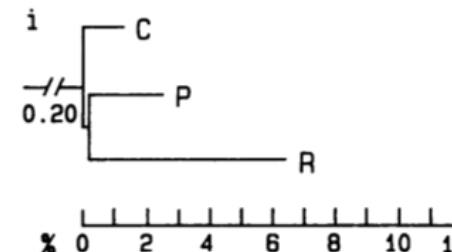
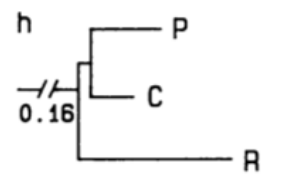
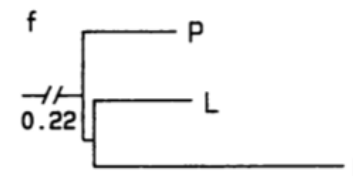
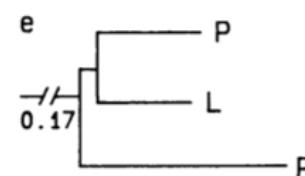
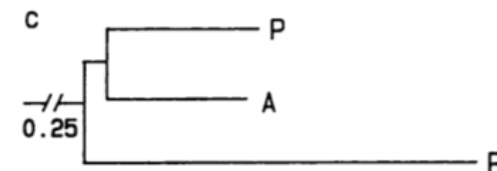
% 0 2 4 6 8

with across-site rate variation

$$\bar{\omega} = 1$$



$$\bar{\omega} = 0.5$$



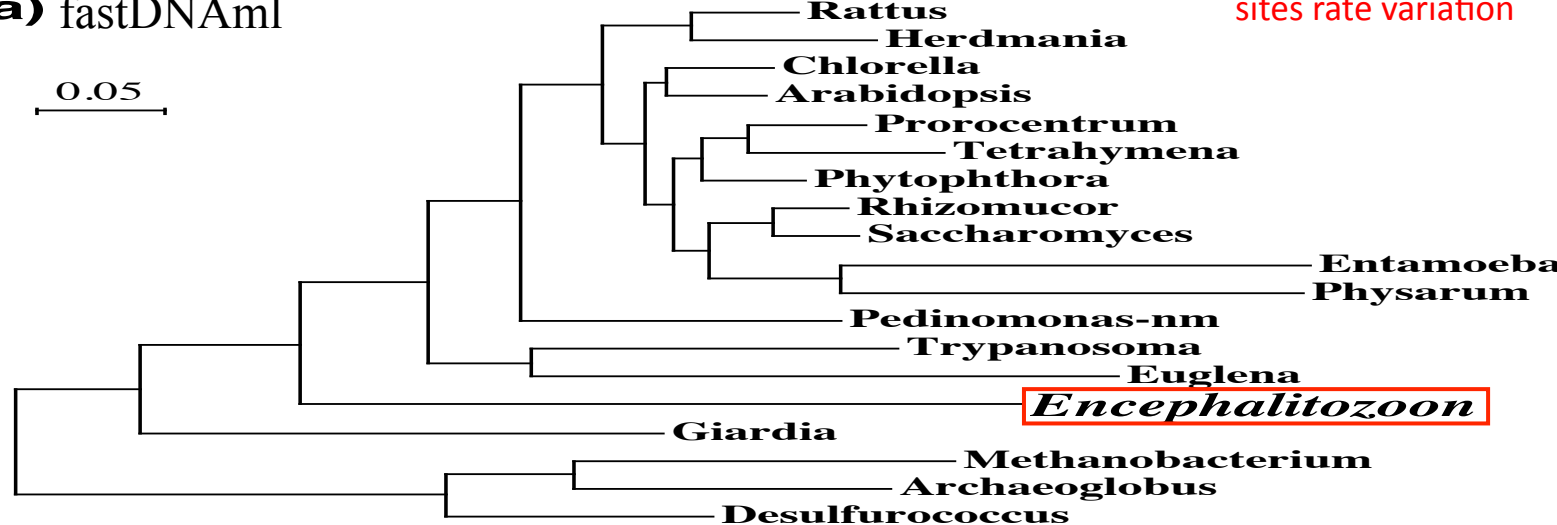
% 0 2 4 6 8 10

% 0 2 4 6 8 10 12

Phylogenetic analysis of LSU rRNA

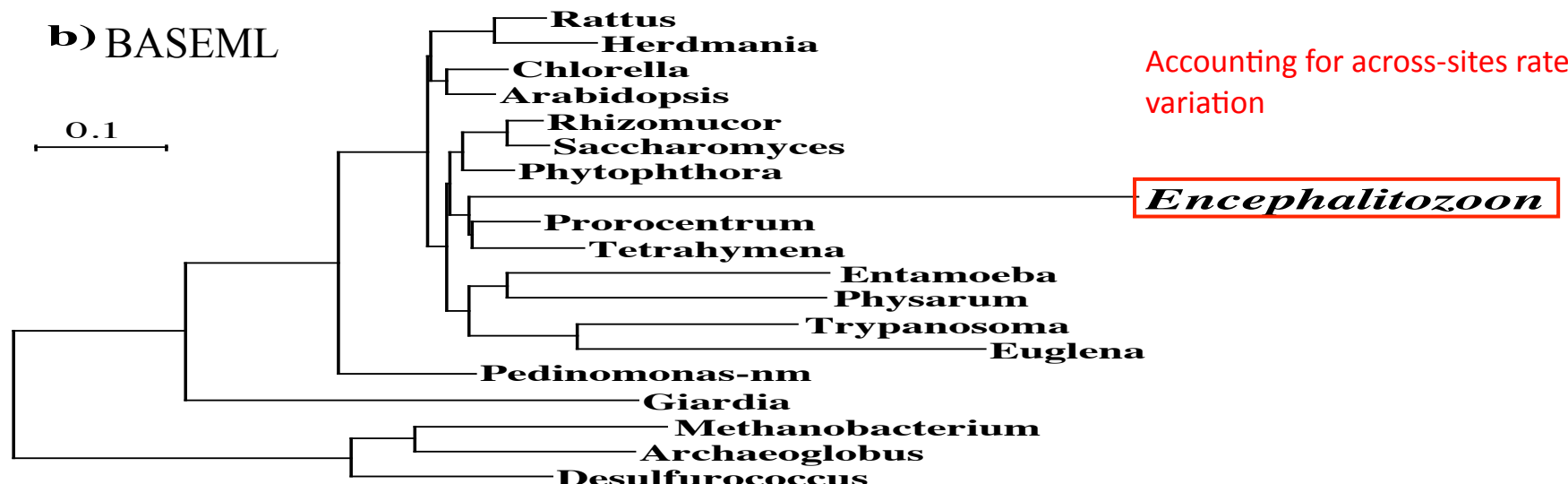
a) fastDNAml

0.05



b) BASEML

0.1



L'effet de l'échantillonage taxonomique

"Molecular phylogeny of the kingdoms Animalia, Plantae, and Fungi"
 Gouy & Li (1989)

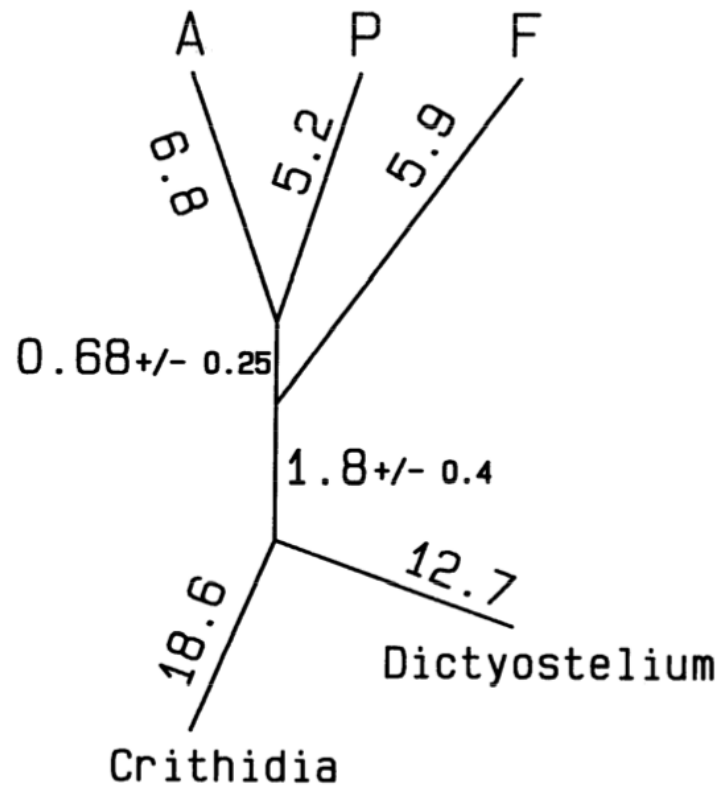


FIG. 2.—Unrooted phylogenetic tree inferred from rRNA sequences. A total of 2,971 sites were analyzed.

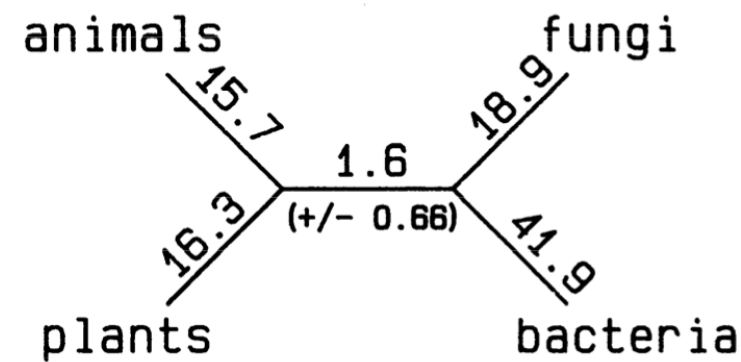
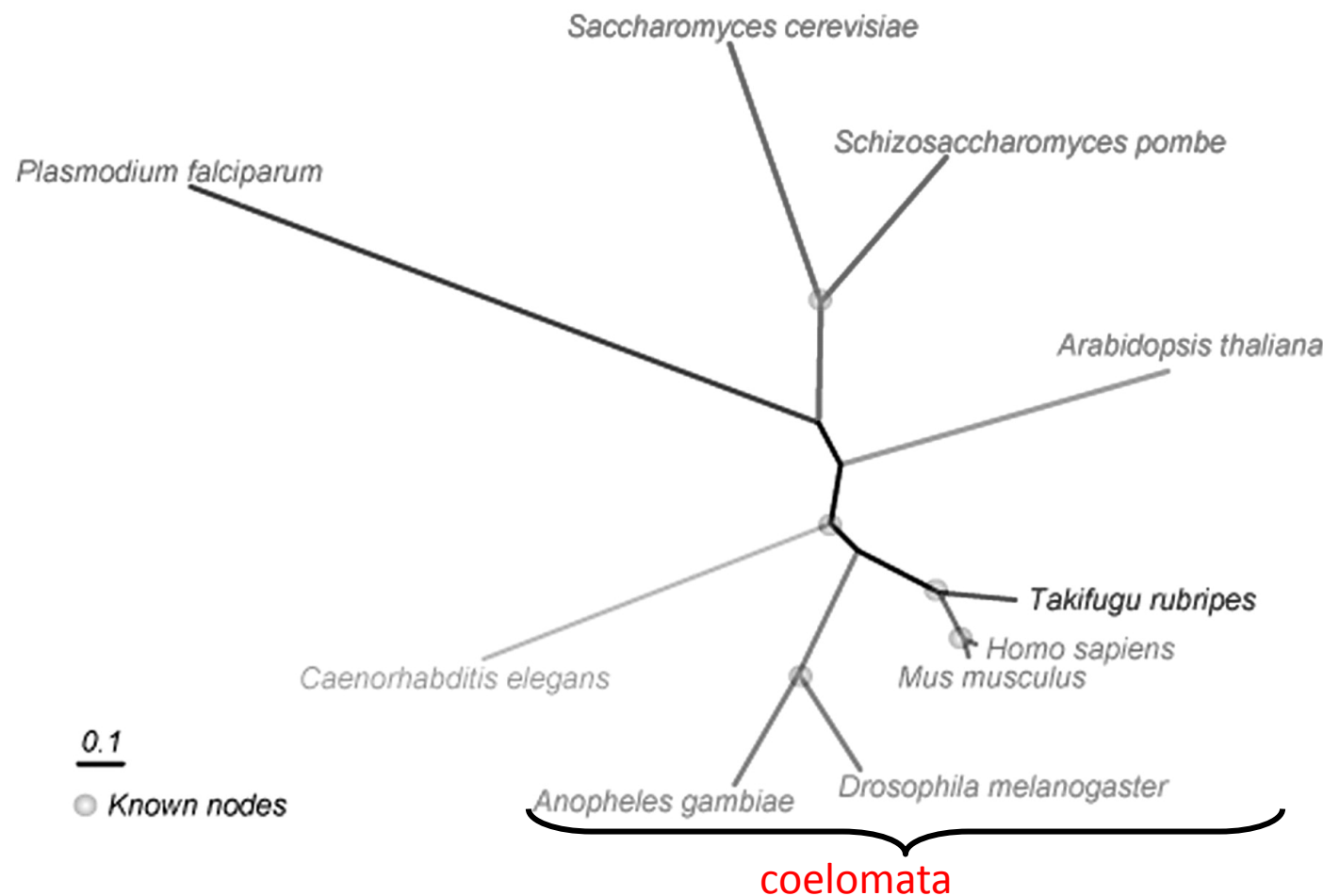


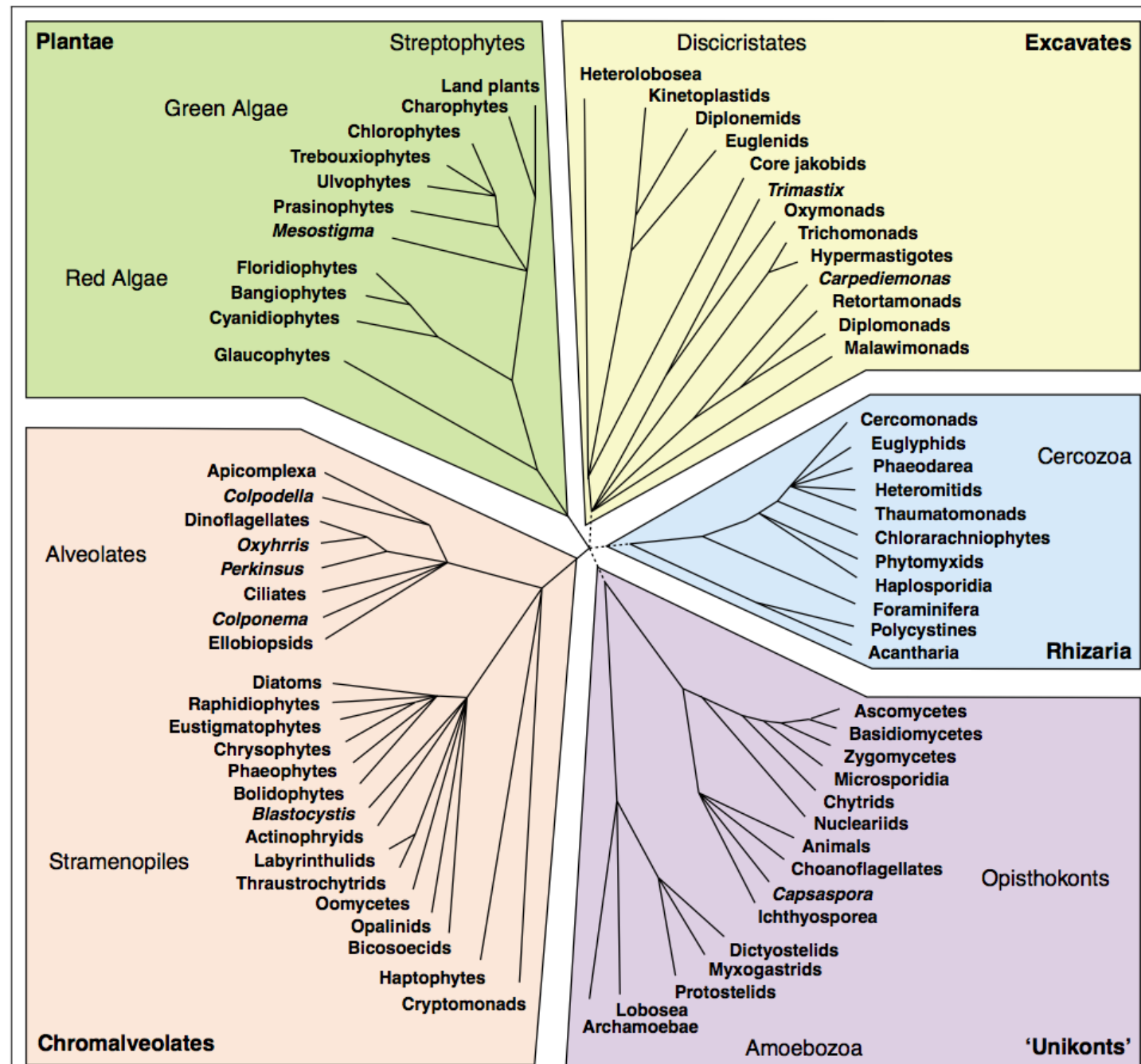
FIG. 4.—Unrooted phylogenetic tree inferred from the pooled protein data set. A total of 1,634 sites were analyzed. Branch lengths are in percent substitutions. The SE of the internal branch length estimate is shown. See table 3 for a description of the data set.

Les temps reculés: à la fois peu de gènes et peu d'espèces

“The Opisthokonta and the Ecdysozoa May Not Be Clades: Stronger Support for the Grouping of Plant and Animal than for Animal and Fungi and Stronger Support for the Coelomata than Ecdysozoa”



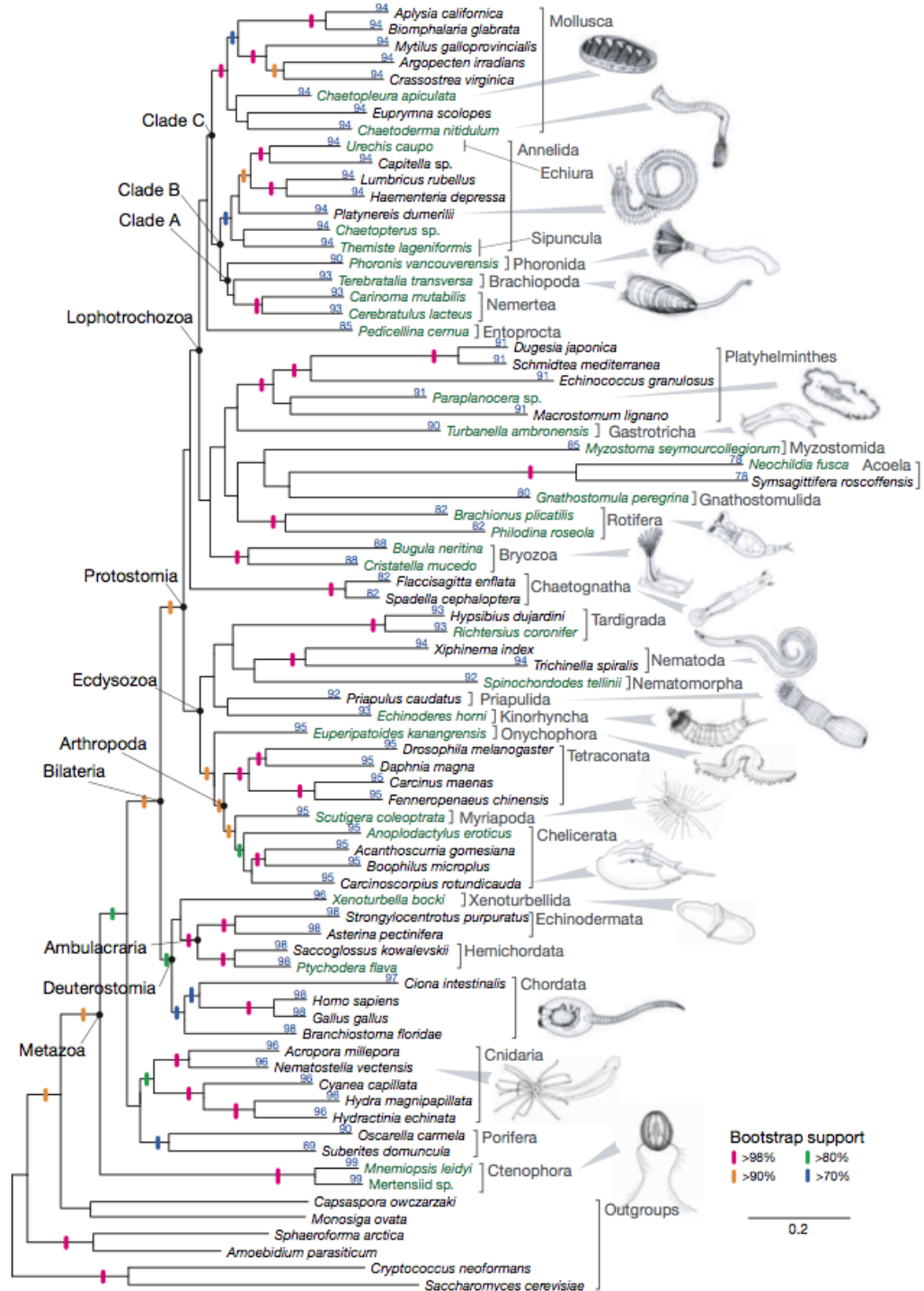
Arbres phylogénétiques de 780 gènes de 10 génomes complètement séquencés amalgamés en un unique superarbre.



Eukaryotic domain phylogeny.

Emerging consensus for the identification of five super-phyla.

Relationships between them remain very uncertain.



Phylogénie des métazoaires

- Rejet du concept acoelomate, pseudocoelomate, coelomate :

la division pertinente est lophotrochozoa / ecdysozoa

- Bilateria vs. cnidaria, porifera et ctenophora

- Protostomes vs. Deutérostomes

Vol 452 | 10 April 2008 | doi:10.1038/nature06614

nature

LETTERS

Broad phylogenomic sampling improves resolution of the animal tree of life